

Vysoká škola: strojní a textilní
v Liberci

Fakulta: strojní

Katedra: obrábění a ekonomiky

Školní rok: 1972/73

DIPLOMOVÝ ÚKOL

pro Václava Plného

odbor strojírenská technologie

Protože jste splnil..... požadavky učebního plánu, zadává Vám vedoucí katedry ve smyslu směrnic ministerstva školství o státních závěrečných zkouškách tento diplomový úkol:

Název tématu: Abrasivita prášků karbidu křemíku při tryskání a její souvislost se základními fyzikálními vlastnostmi

Pokyny pro vypracování:

1. Opakování tryskání s SiC dané zrnitosti.
2. Otryskávání oceli práškem SiC.
3. Abrasivita v závislosti na velikosti zrna.
4. Uprava tryskacího zařízení pro s tálou dodávku prášku.
5. Návrh zařízení pro tryskání prášku s nosnou kapalinou.

Autoritativní právo se řídí směrnicemi MŠK pro státní závěrečné zkoušky č. j. 31/72, 32-III/2 ze dne 13. července 1972. Věstník MŠK XVIII, sešit 24 ze dne 31. 8. 1972 § 19 autorského zákona č 115/53 Sb.

**VYSOKÁ ŠKOLA STROJNÍ A TEXTILNÍ
Ústřední knihovna
LIBEREC 1 STUDENTSKÁ 5**

*S
V 15/1973*

Rozsah grafických laboratorních prací:

20 - 30 stran formátu A 4

Rozsah průvodní zprávy:

Do 40 stran

Seznam odborné literatury:

Sodomka, L.: Jemná mechanika a optika 8 (1963)

Sodomka, L.: Čs. čas. fyz. 18 (1968) 497

Sodomka, L.: Vědeckovýzkumná zpráva VSST Liberec 1968

Jetleb, P.: Studium otřysk. prášku. Dipl. práce 1971, VŠST Liberec

Jetleb, P., Cinková, J.: Využití triboluminiscence ... Stud. věd. práce z 15. června 1971

Černý, V.: Brusivo a brusné nástroje. SNTL Praha 1967

Kosolopova, T. J.; Karbidy. Metalurgija Moskva 1968

Karbid kremja. Naukova dumka. Kyjev 1966

Brepta, R., Prokopec, M.: Šíření napěťových vln ... Academia Praha 1968

Vedoucí diplomové práce:

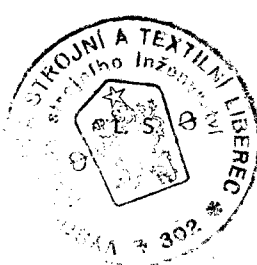
RNDr. Lubomír Sodomka, CSc

Konzultanti:

Ing. Jaromír Gazda

Datum zahájení diplomové práce: 16. 10. 1972

Datum odevzdání diplomové práce: 6. 7. 1973



Draský
Prof. Ing. Jaroslav Draský, CSc
vedoucí katedry

Kotšmíd
Prof. Ing. Dr.techn. F. Kotšmíd
děkan

o b s a h

1.	Úvod	3
2.	Charakteristika eroze	5
3.	Opaková tryskání s karbidem křemíku dané zrnitosti	7
3.1.	Stanovení tryskacích podmínek	7
3.2.	Stanovení dávky	9
3.3.	Vlastní průběh zkoušky	11
3.4.	Vyhodnocení zkoušky	12
4.	Vliv druhů ocelí na erozi karbidem křemíku	26
4.1.	Přehled použitých materiálů	26
4.2.	Průběh zkoušky	27
4.3.	Vyhodnocení zkoušky	28
5.	Kapalinový tryskač	35
5.1.	Princip konstrukce	36
5.2.	Konstrukční řešení tlakové nádoby na míchá- ní pomocí piezokeramických destiček . . .	36
5.3.	Piezokaramické míchání emulze	39
5.4.	Konstrukční řešení tryskace	40
5.5.	Zhodnocení	41
6.	Abrazivita v závislosti na velikosti zrna karbidu křemíku	43
6.1.	Příprava prášku	43
6.2.	Průběh zkoušky	44

VŠST Liberec	Abrazivita prášků karbidu křemíku a jejich souvislost se zákl. fyz. vlastnostmi	DP - ST - 985/73
Fakulta strojní		OE str. 2

6.3.	Vyhodnocení zkoušky	44
7.	Závěr	48
8.	Literatura	49

Přílohy

Příloha 1 - graf 4

Závislost úběru Δm oceli na množství M vytryskaného
prášku karbidu křemíku.

Příloha 2 - 17 výkresů nádoby na míchání suspense
pomocí piezokeramických destiček DP - 2

Příloha 3 - 6 výkresů tryskací komory DP - 3

1. Úvod

Mezi technologie opracování materiálů počítáme také ty, které užívají částic abrazívních materiálů různé zrnitosti. Jsou to:

- 1) Eroze, při které proud částic nesených obvykle vzduchem, nebo jiným plynným prostředím, naráží na povrch opracovávaného materiálu rychlostí určenou velikostí a směrem, vzhledem k povrchu opracovávaného materiálu.
- 2) Ultrazvukové opracovávání. Při tomto způsobu opracování jsou abrazívni částice smíšené s kapalinou, nejčastěji vodou, urychlovány kmitajícím zařízením. Částice pak narážejí na povrch materiálu, který opracovávají.
- 3) Abraze a broušení. Při této technice jsou částice fixovány v rovinné desce nebo kotouči, které se pohybují po povrchu opracovávaného materiálu za neustálého přitlačování vnější silou k povrchu.
- 4) Lapování a leštění. Touto technikou opracování jsou volné částice za pohybu tlačeny k opracovávanému povrchu prostřednictvím jiné plochy.

Všechny uvedené technologie, ať už je jejich definice jakákoliv, mají společné to, že při nich dochází k lokálnímu rozrušování materiálů a jedině za těchto podmínek jsou řiditelné.

Eroze, která se podrobněji začala studovat od roku 1960, je z uvedených technologií fyzikálně nejpřístupnější jak k experimentování, tak i k teoretickému a

a analytickému zpracování. Je také předmětem zájmu pro možnost jejího technologického využití při opracovávání tvrdých a křehkých materiálů otryskáváním nebo pískováním. Vedle toho se však setkáváme s erozí jako parazitním jevem v řadě technických problémů, z nichž je možno uvést poškozování rozvodů při pneumatickém transportu pevných látek.

U plynových a parních turbín jsou vlivem eroze poškozovány lopatky, čímž se snižuje jejich životnost. V raketových motorech poškozuje eroze stěny trysek.

Z těchto důvodů se věnuje studiu eroze zvýšená pozornost.

2. Charakteristiky eroze

Erozi E kvantifikujeme veličinou snadno definovatelnou a měřitelnou úbytkem hmoty Δm materiálu způsobeným jednotkovým množstvím abrazívního materiálu, takže

$$E = \Delta m / M$$

kde M je hmota částic užitých při erozi. Číselně se vyjádřuje veličinou obvykle s rozdílem (g/kg). Výhodnější je však popisovat erozi úbytkem objemu V způsobeným jednotkovým množstvím abraziva, takže

$$E = \Delta V/M = \Delta m/\rho \cdot M$$

udávané v (mm^3/kg) nebo (cm^3/kg).

Takto zavedená veličina je funkcí nejrůznějších vlivů, které se podílejí na mechanizmu eroze. Jsou to:

- 1) Velikost a směr rychlosti u částic dopadajících na povrch materiálu
- 2) Velikost, tvar a materiálové vlastnosti částic užitých při erozi (tvrdost, pevnost atd.)
- 3) Mechanické vlastnosti zkoušeného materiálu (pernost, tvrdost, houževnatost, křehkost atd.)

Dá se očekávat, že eroze bude funkcí všech těchto veličin, z nichž některé samy o sobě jsou veličinami složitými, jako např. venost, tvrdost, tvar části atd.

a analytickému zpracování. Je také předmětem zájmu pro možnost jejího technologického využití při opracovávání tvrdých a křehkých materiálů otryskáváním nebo písčováním. Vedle toho se však setkáváme s erozí jako parazitním jevem v řadě technických problémů, z nichž je možno uvě

D. Vojtěch Šimánek

VŠST Liberec	Abrazivita prášků karbidu křemíku a jejich souvislost se zákl. fyz. vlastnostmi	DP - ST - 985/73
Fakulta strojní		OE str. 7

3. O p a k o v a n é t r y s k á n í s k a r b i - d e m křemíku d a n é z r n i t o s t i

3.1. Stanovení tryskacích podmínek

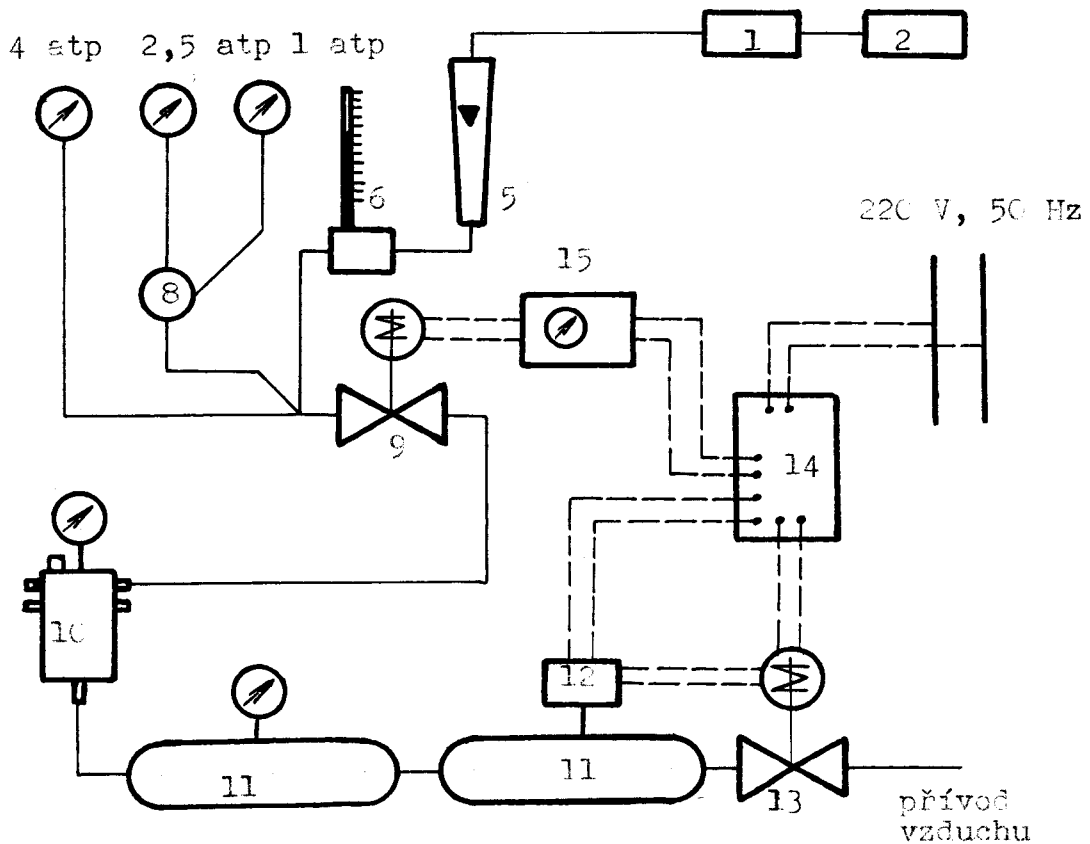
Vhodné stanovení tryskacích podmínek bylo velmi důležité, neboť zde působilo několik proměnných veličin:

- výběr tryskacího prášku
- zrnitost tryskacího prášku
- velikost tlaku nosného plynu
- vzdálenost trysky od vzorku
- průměr trysky

Zařízení, kterého jsme použili, bylo zkonstruováno v laboratořích katedry fyziky v Doudí u Liberce. Celé zařízení se skládá z tryskací komory, směšovací nádoby a měřicího panelu s rozvodem a regulací plynu. Blokové schéma celého zařízení je na obrázku 1.

Směšovací nádoba je tvořena skleněnou nádobou na obsah 100 ml a z našroubovatelného uzávěru, kam ústí vstupní a výstupní trubice. Nádoba musí být v pracovní poloze postavena tak, aby uzávěr nebyl zasypán. Vlastní směšování plynu a prášku je způsobeno rozvířením prášku vzduchem vstupujícím do nádoby. Výstupní trubici je pak prášek unášen do tryskače.

Tryskač je tvořen kostrou. Zadní část kostry je uzavřena zašroubovatelným víčkem, kterým prochází držák trysek s tryskou. Držákem je možno posunovat ve víčku a tím se mění vzdálenost nastavení trysky od otryskávaného vzorku. Opačný konec kostry je opatřen závitem, na který



Obrázek 1 - Blokové schéma tryskacího zařízení

1 - směšovač; 2 - tryskač; 5 - rotametr; 6 - clonka s diferenčním tlakoměrem; 7 - manometry s rozsahem 4 atm, 2,5 atm, 1 atm; 8 - pětipolohový ventil; 9 - elektromagnetický ventil; 10 - ruční regulátor tlaku; 11 - zásobníky vzduchu; 12 - tlakové čidlo; 13 - elektromagnetický ventil ovládaný 12; 14 - rozvodová deska; 15 - časový spínač

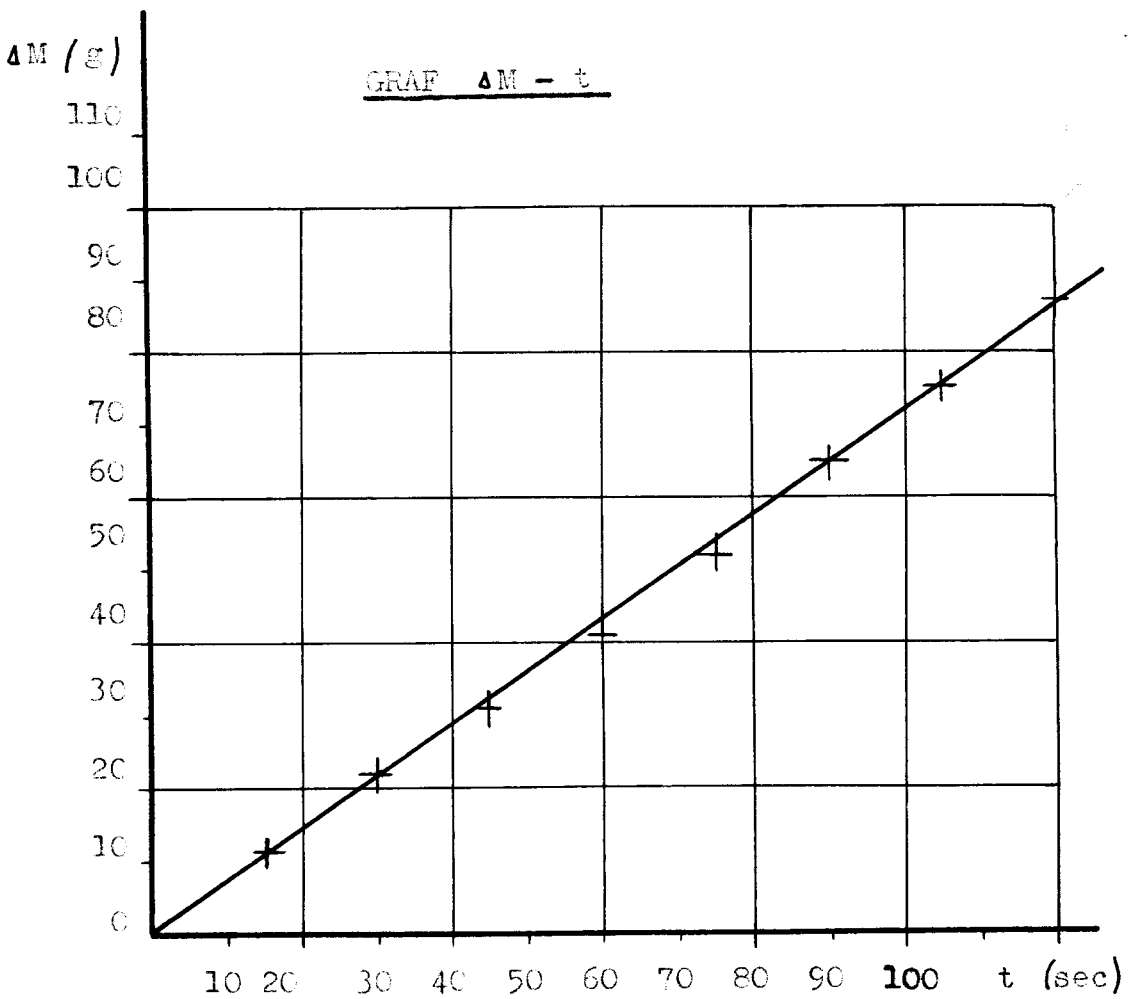
VŠST Liberec	Abrazivita prášků karbidu křemíku a jejich souvislost se zákl. fyz. vlastnostmi	DP - ST - 985/73
Fakulta strojní		OE str. 9

se našroubovává uzávěr, v kterém je uchycen otryskávaný vzorek. Aby nedocházelo k unikání brusiva kostrou tryskačce do okolí, je celá kostra potažena plátěným krytem.

Pro přesné nastavení a kontrolu tryskacího tlaku a množství nám slouží kontrolní panel. Panel obsahuje tři kontrolní manometry s rozsahy: 0 - 4 atp, 0 - 2,5 atp, 0 - 1 atp, clonku s diferenčním vodním tlakoměrem, elektromagnetický ventil, pětipolohový rozvodový ventil, elektronický časový spínač JPF 288 3556 a rotametr. Elektronický časovým spínačem se regulovalo sepnutí elektromagnetického ventilu a tím doba otryskávání. Pro rovnoměrnou dodávku vzduchu je zařízení doplněno dvěma tlakovými nádobami, které jsou automaticky udržovány na předem zvoleném tlaku pomocí elektrického tlakového relé, které ovládá elektromagnetický ventil na přívodu od centrálního rozvodu tlakového vzduchu. Při opakovaném tryskání karbidem křemíku jsme použili šedý prášek C 48 - zrnitost 150 (velikost zrna je v rozmezí 0,08 - 0,1 mm). Vzorek, který jsme otryskávali je z materiálu 11 423. Jedná se o kruhový výstřížek z plechu o průměru 42 mm, tloušťce 1,5 mm. Vzorek je označen 002. Pevnost materiálu $\sigma_{p,t} = 42 - 48 \text{ kp/mm}^2$, tvrdost 136 HV₁₀.

3.2. Stanovení dávky

Za pracovní tlak jsme zvolili v souladu s výsledky literatury [1] tlak $p = 1 \text{ atm}$, dále jsme stanovili, že použijeme k otryskávání trysky o vnitřním průměru $D = 1,5 \text{ mm}$



Graf 1.

Závislost úbytku prášku karbidu křemíku SiC - 15C,
šedý, velikost zrn 80 - 100 mikronů, nosný tlak $p = 1$ atp,
exposice 15 sekund. Ve směšovací komoře bylo 100 gramů
prášku SiC, nádoba byla plněna na značku 60. Vzdálenost
trysky od vzorku 8 mm.

VŠST Liberec	Abrazivita prášků krabidu, křemíku a jejich souvislost se zákl. fyz. vlastnostmi	DP - ST - 985/73
Fakulta strojní		OE str. 11

se zaoblenými hranami a vzdálenost trysky od vzorku bude ve všech měřených 8 mm. Tyto hodnoty tj. tlak 1 atm, průměr 1,5 mm a nastavení trysky od vzorku 8 mm jsou dodržovány ve všech měřeních této práce z důvodů srovnatelnosti výsledků. Pak jsme přistoupili ke stanovení ΔM váhy vytryskávaného prášku na čase t, abychom mohli z této závislosti stanovit nejhodnější váhu dávky. Prakticky jsme postupovali tak, že jsme směšovací nádobu naplnili na rysku se značkou 60, což odpovídalo váze prášku 100 g. Poté jsme počali tryskat v intervalech 15 vteřin. Po každém intervalu jsme zvážili směšovací komoru, kde předem známé váhy komory a obsahu jsme stanovovali úbytky prášku ΔM . Závislost ΔM - čas viz graf 1. Po úplném vytryskání prášku ze směšovače jsme jej vrátili z tryskací komory do směšovače a opět jsme v intervalech tryskali. Po pátém opakováném tryskání jsme zjišťovali úbytek prášku, který byl zanedbatelný. Při vlastní zkoušce byl úbytek 3% původní váhy. Zjištění úbytku bylo velmi důležité z toho důvodu, že jsme během zkoušky nemohli doplňovat prášek novým, protože cílem zkoušky bylo zjistit abrazivitu prášku při opakovém tryskání.

3.3. Vlastní průběh zkoušky

Z grafu ΔM - čas jsme si stanovili jako základní množství pro jedno opakování 60 g. Celý pokus trval tak dlouho, dokud nedošlo k vytvoření otvoru vlivem abrazívního působení brusiva na vzorek. Při zvolení velkého obsahu

dávky by byl malý počet opakování nežádoucí z důvodu malého množství hodnot při měření. Při velmi malém obsahu dávky by byla zkouška zbytečně zdlouhavá.

Při vlastní zkoušce jsme postupovali:

a) Zjistili jsme si původní váhu vzorku a brusiva

b) Během každého pátého opakování tryskání jsme zvážili vzorek a zkontrolovali úbytek prášku.

Současně jsme odebírali malé množství brusiva,

abychom pak pomocí monokulárního mikroskopu

MEOPTA 111 734 mohli stanovit změny rozměrové a geometrické. Vážení vzorků jsme prováděli na analytických vahách A3/200 ČSL. PAT. OHL. 0302317.

Při odběru vzorků brusiva jsme narazili na složitou problematiku výběru reprezentativního vzorku. Údaje o úbytcích jsou v tabulce 1.

3.4. Vyhodnocení zkoušky

Během zkoušky jsme uskutečnili 18 měření. To znamená, že jsme odebrali během měření 17 vzorků brusiva a 1 vzorek původního neotryskaného brusiva. Měření a odběr jsme prováděli po 0, 5, 10, 15, ... 65, 70, 80, 90 a 98 opakování tryskání. Při 98 opakovém tryskání došlo k vytvoření otvoru ve vzorku vlivem abrazivního působení brusiva. V průběhu měření jsme odebrali 18 vzorků včetně jednoho neotryskaného vzorku brusiva. Všechny tyto vzorky jsme vyfotografovali pomocí mikroskopu při celkovém zvětšení mikroskopu 100 x (zvětšení okuláru

VŠST Liberec	Abrativita prášků karbidu krémiku a jejich souvislost se zákl. fyz. vlastnostmi	LB - ST - 985/73
Fakulta strojní		OE str. 13

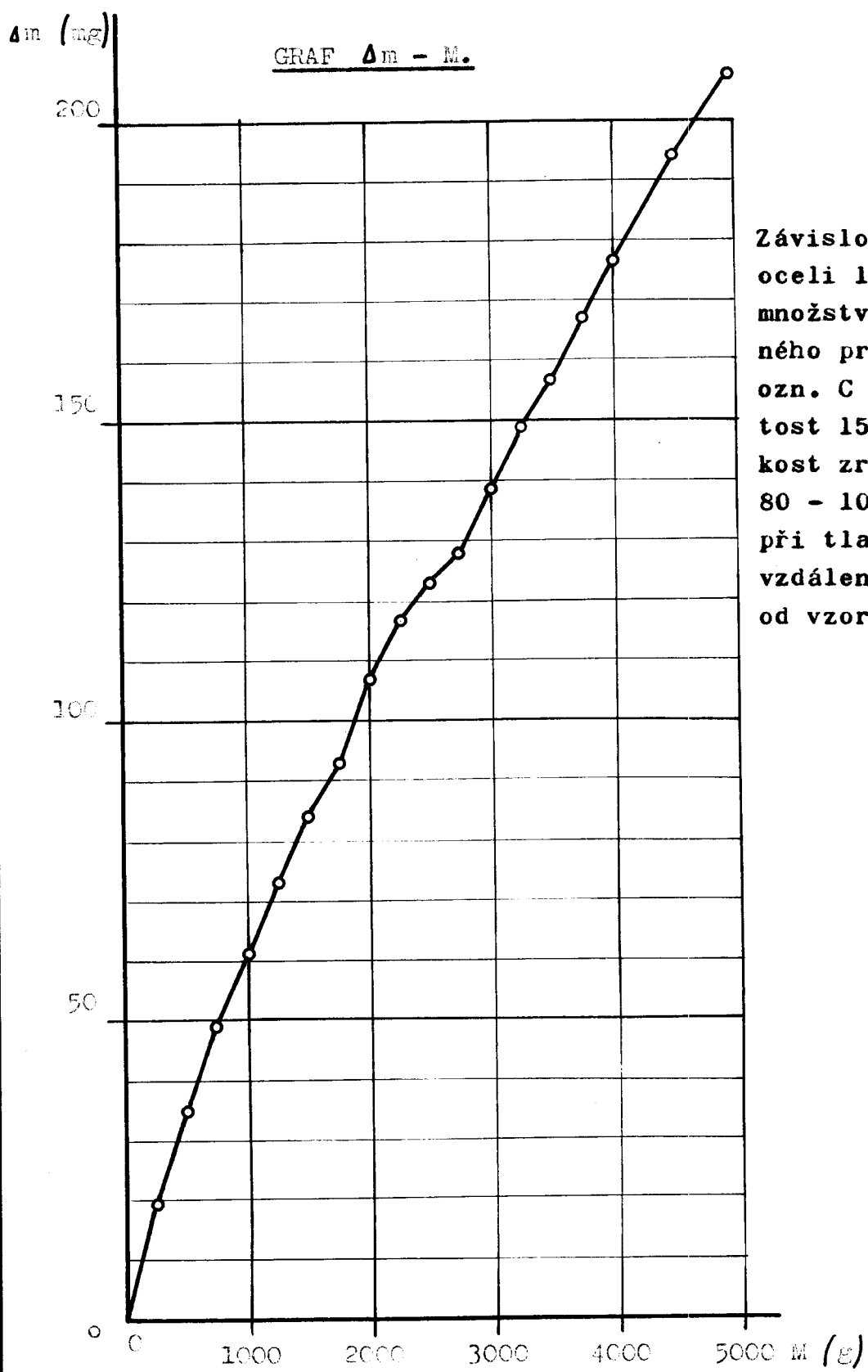
10x a zvětšení objektivu 10x). Zvětšení přídavného fotografického zařízení na mikroskopu bylo 1,5x. Z těchto 18ti negativů jsme vybrali 9, z kterých jsme zhodovili fotografie 1, 2, 3, 4, 5, 6, 7, 8, 9. Jako materiál pro negativy bylo použito desek NEGATIV - PLATTE - NO 20 - ORTOCHROMATISCH - citlivost 20 LIN. Vývojku a ustalovač jsme použili běžného typu. Doba expozice pro osvětlení negativů na mikroskopu byla 30 vteřin. Pozitivy byly zhodoveny na zvětšovacím přístroji MAGNIFAX, zvětšení bylo 3,5x. Celkové zvětšení tedy činí

$$10 \times 10 \times 1,5 \times 3,5 = 525x.$$

Jednotlivé snímky odpovídají netryskanému brusivu, po 20tém, 30tém, 40tém, 50 tém, 60tém, 70tém, 80tém, a 98tém opakováném tryskání. Ze snímků je patrná změna tvaru a rovněž rozměrová změna. Zrna se během opakování tryskání zaoblují, ztrácejí ostré hrany. V brusivu přibývá úlomků, které tvoří prach. Na samotném prášku lze vizuálně pozorovat, že je špinavější, mazlavější a jemnější, což právě způsobují tyto úlomky, případně nabalení částic oceli na zrna. U některých negativů byla zrnka brusiva zcela obalena prachem. Odrolováním ostrých hran přibývá počet činných brusných částeček. Tím se vlastně kompenzuje ztráta abrazivnosti zrn. Úbytek otryskávaného materiálu je konstantní a brusivo i po četném opakování neztrácí abrazivitu. V tabulce 1 jsou váhové a objemové úbytky při jednotlivých opakování. Grafy $\Delta m - M$ (2) a $\Delta V - M$ (3) vyjadřují závislost váhového a objemového úbytku.

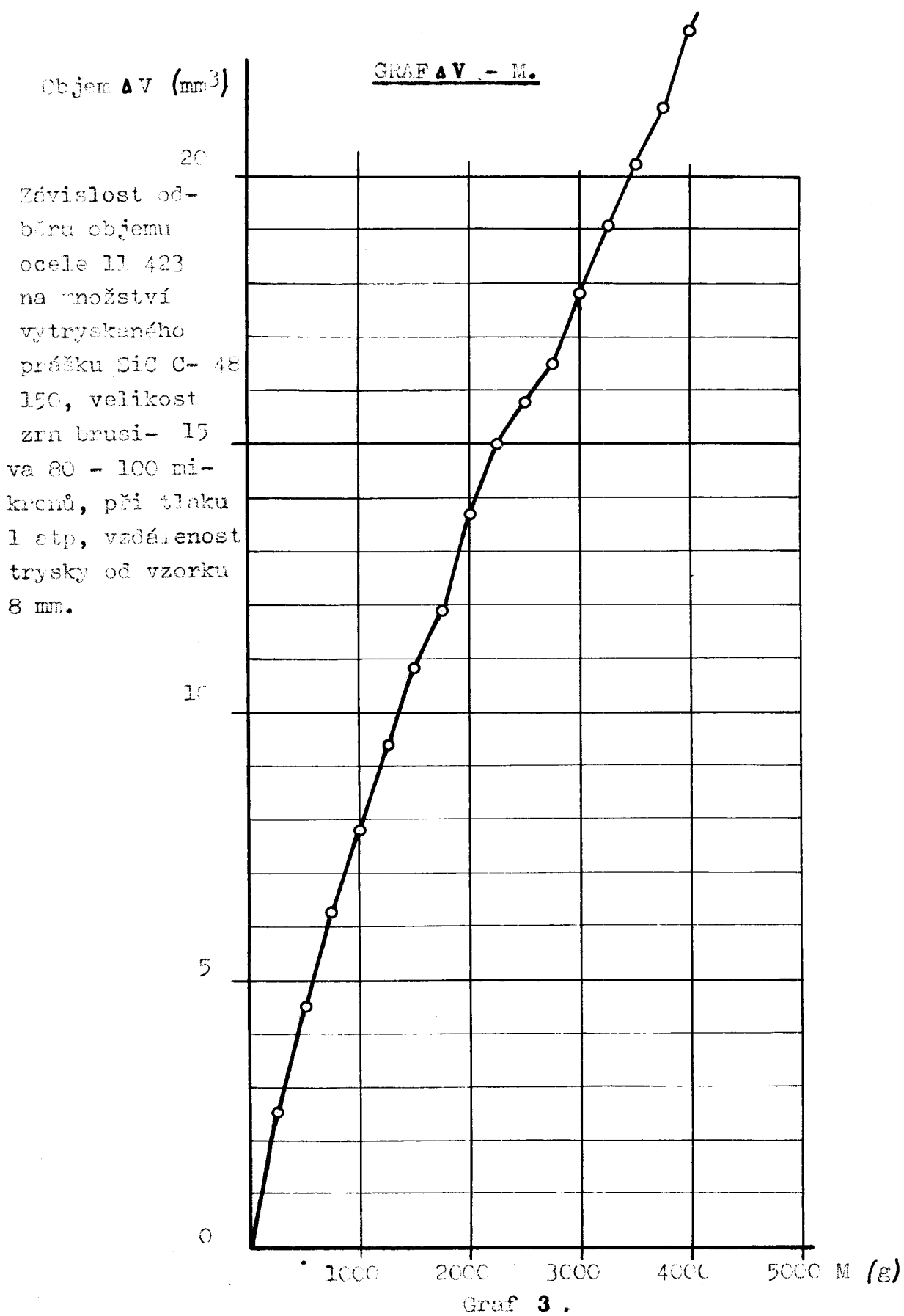
Opakování trýskání n _i	Váha vzorku m _i g	Váhový úbytek m _i = m ₀ - m _i	Objemový úbytek V mm ³	Cznačení fotografie
0	15, 4396	0, 0	0, 0	1
5	15, 4201	0, 0195	2, 55	
10	15, 4044	0, 0352	4, 55	2
15	15, 3908	0, 0488	6, 30	
20	15, 3787	0, 0609	7, 85	3
25	15, 3665	0, 0731	9, 40	
30	15, 3550	0, 0846	10, 85	4
35	15, 3436	0, 0960	11, 90	
40	15, 3323	0, 1073	13, 70	5
45	15, 3226	0, 1170	15, 05	
50	15, 3165	0, 1231	15, 80	6
55	15, 3115	0, 1275	16, 45	
60	15, 3004	0, 1392	17, 85	7
65	15, 2908	0, 1488	19, 10	
70	15, 2828	0, 1568	20, 25	
75	15, 2730	0, 1666	21, 30	
80	15, 2627	0, 1769	22, 75	8
90	15, 2454	0, 1942	24, 90	
98	15, 2315	0, 2081	26, 64	9

TABULKA 1.



Závislost odběru
oceli 11 423 na
množství vytryska-
ného prášku SiC
ozn. C - 48, zrni-
tost 150 na veli-
kost zrn brusiva
80 - 100 mikronů,
při tlaku 1 atm,
vzdálenost trysky
od vzorku 8 mm.

Graf 2 .





0 20 40 60 80 100 mikronů

Fotografie 1 - neotryskaný prášek SiC

Karbid křemíku C > 48 šedý, označení zrnitosti 150,
velikost zrn 80 - 100 mikronů. Zvětšeno 525 x

VŠST Liberec

Abrazivita prášků karbidu

DP - ST - 985/73

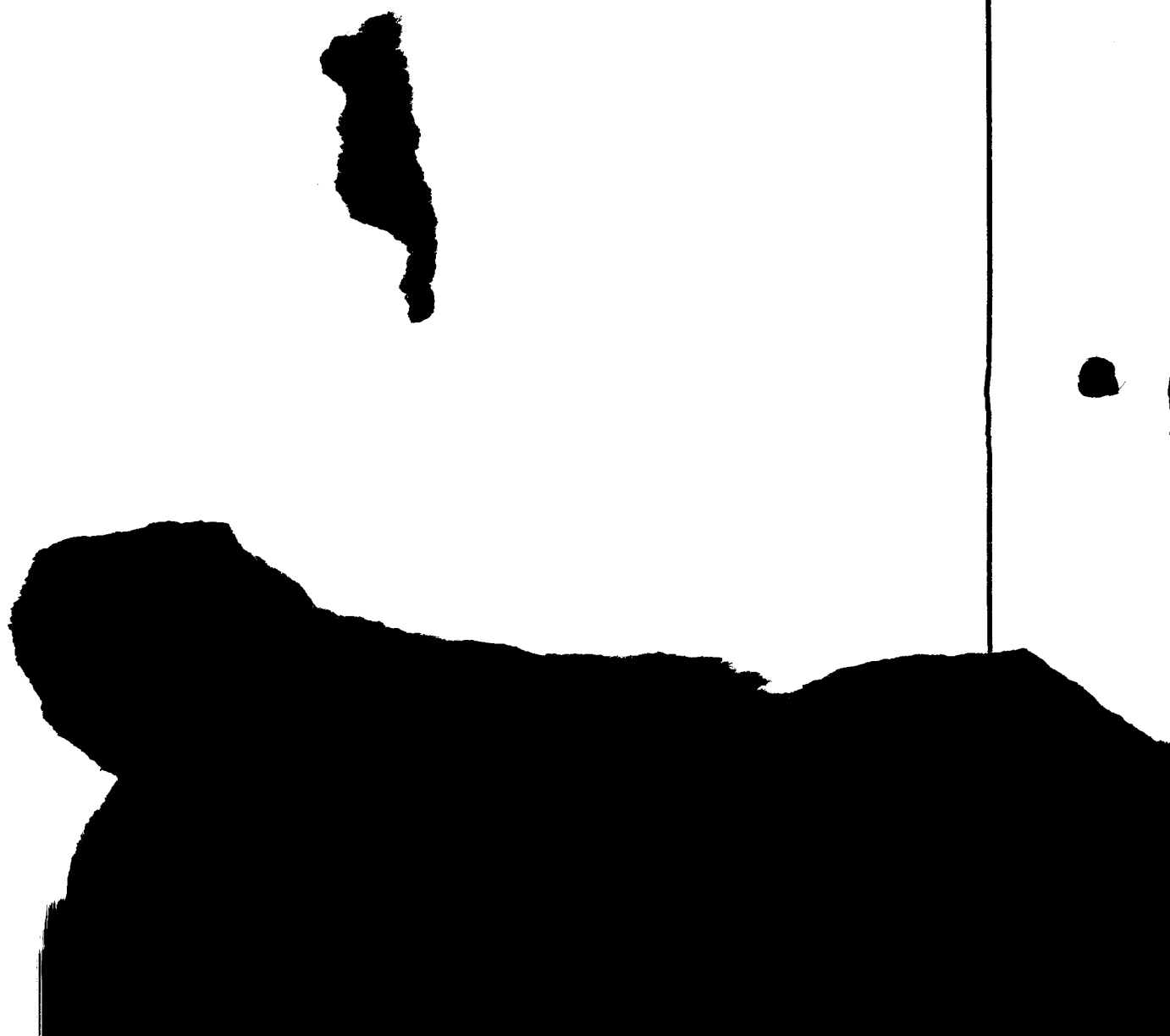
VČT Liberec

Abrazivita prášků karbidu

DP - ST - 985/73

Fotografie 2 - prásek SiC opakování tryskán - 10 x
Karbid kremíku C - 48 sedy, označení zrnitosti 150,
velikost zrn 80 - 100 mikronů. Zvětšeno 525 x

0 20 40 60 80 100 mikronů



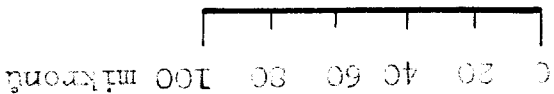


0 20 40 60 80 100 mikronů

Fotografie 3 - prášek SiC opakově tryskán - 20 x
Karbid křemíku C - 48 šedý, označení zrnitosti 150,
velikost zrn 80 - 100 mikronů. Zvětšeno 525 x



velikost zrn 80 - 100 mikronů. Zvětšeno 525 x
karbid křemíku C - 48 sedý, označení zrnitosti 150,
Fotografie 4 - prásek SiC opakování tryskán - 30 x

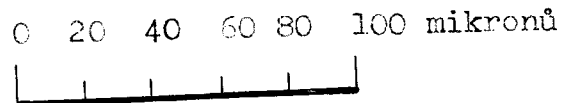




štr 24

fot s výškou moc
mocí a moc lepiatka

Fotografie 5 - prášek SiC opakově tryskán - 40 x
karbid křemíku C - 48 šedý, označení zrnitosti 150,
velikost zrn 80 - 100 mikronů. Zvětšeno 525 x



VŠST Liberec

Fakulta strojní

abrazivita práska kárbida
křemíku a jíročich souviselostí
se zákl. fyz. vlastnostmi

DI





0 20 40 60 80 100 mikronů



Fotografie 6 - prášek Sic opakováně tryskán - 50 x
Karbid křemíku C - 48 šedý, označení zrnitosti 150,
velikost zrn 80 - 100 mikronů. Zvětšeno 525 x



0 20 40 60 80 100 mikronů

Fotografie 7 - prášek SiC opakováně tryskán - 60 x

Karbid křemíku C - 48 šedý, označení zrnitosti 150,

velikost zrn 80 - 100 mikronů. Zvětšeno 525 x



0 20 40 60 80 100 mikronů

Fotografie 8 - prášek SiC opakováně tryskan - 80 x
Karbid křemíku C - 48 šedý, označení zrnitosti 150,
velikost zrn 80 - 100 mikronů. Zvětšeno 525 x



C 20 40 60 80 100 mikronů

Fotografie 9 - prášek SiC opakováně tryskan - 98 x
Karbid křemíku C - 48 šedý, označení zrnitosti 150,
velikost zrn 80 - 100 mikronů. Zvětšeno 525 x

VŠST Liberec	Abrazivita prášků karbidu křemíku a jejich souvislost se zákl. fyz. vlastnostmi	DF - ST - 985/73
Fakulta strojní		OE str. 26
<u>4. Vliv druhu oceli na erozi</u>		
<u>karbidem křemíku.</u>		
<p>Při tomto měření bylo použito tryskací zařízení popsané v části 3. Také základní podmínky tryskání byly zachovány t.j. tlak 1 atm., tryska o průměru 1,5 mm a vzdálenost trysky od otryskávaného vzorku 8 mm. Pouze jsme otryskávali různé druhy materiálů.</p>		
<p>Úkolem této zkoušky bylo stanovit velikost úběru materiálu lišící se svojí pevností, tvrdostí a houževnatostí. Vybrali jsme si materiály běžně užívané a materiále tepelně zpracované.</p>		
<u>4. 1. Přehled použitých materiálů.</u>		
11 110 -	$\sigma_{NINP,E} = 55 \text{ kp/mm}^2$, obrobitelnost velmi dobrá. Je materiál hodící se pro rychlořezné automaty, obsah uhlíku 0,1 %. Tato ocel se běžně nazývá automato-vou ocelí. Vzorek měl označení 1. Tvrdost 177 HV.	
11 373 -	$\sigma_{P,E} = 37 - 42 \text{ kp/mm}^2$, jedná se o široce používanou ocel, má dobré svařitelné vlastnosti a označení 2. Tvrdost 191 HV.	
11 600 -	$\sigma_{P,E} = 60 - 72 \text{ kp/mm}^2$, ocel se hodí na součástky vysoce namáhané. Označení 3, tvrdost 187 HV.)	
12 010 -	cementační ocel, obsah uhlíku 0,07 - 0,14%, mangani 0,35 - 0,65%, křemíku 0,17 - 0,37%, v žíhaném stavu je pevnost 34 kp/mm^2 , po cementování a zakalení $\sigma_{P,E} = 45 - 65 \text{ kp/mm}^2$. Označení ne-zakaleného vzorku 4, označení zakaleného vzorku 4"	

VŠST Liberec	Abrazivita prášků karbidu křemíku a jejich souvislost se zákl. fyz. vlastnostmi	DP - ST - 985/73
Fakulta strojní	OE	str. 27

12 060 - ocel hojná ke zušlechtění, obsah uhlíku 0,52 - 0,60%, v zušlechtěném stavu je pevnost 70 - 85 kp/mm². Tvrdost nezušlechtěné oceli 211 HV, označení 5, v zušlechtěném stavu, tvrdost 545 HV, označení 5".

14 420 - jedná se o ocel nitridační, v zušlechtěném stavu je $\sigma_{p,t} = 110$ kp/mm², tvrdost nezušlechtěné oceli je 163 HV, označení 6, v zušlechtěném stavu 786 HV, označení 6".

15 260 - chromvanadová ocel k zušlechtování, obsah uhlíku 0,47 - 0,55 %, chrom = 0,9 - 1,2%; vanad = 0,1 - 0,2 %. V zušlechtěném stavu $\sigma_{p,t} = 90 - 105$ kp/mm². V nezušlechtěném stavu tvrdost 184, označení 7 a v zušlechtěném stavu tvrdost 668 HV, označení 7".

17 241 - jedná se o ocel ohnivzdornou, maximální obsah uhlíku 0,12%, mangantu = 2%, chromu = 17 - 20%, niklu = 8 - 11%. $\sigma_{p,t} = 50$ kp/mm². Tvrdost 198 HV, označení 8.

Poznámka:

Měření tvrdosti bylo provedeno podle normy ČSN 42 I374, zatížení bylo 30 kg.

4. 2. Průběh zkoušky:

Pro otřyskávání jsme použili prášek karbidu křemíku C - 48 /šedý/ označení zrnitosti 150 (velikost zrna 80 - 100 mikronů). K měření jsme měli k disposici celkem 12 druhů

VŠST Liberec	Abrazivita prášků karbidu křemíku a jejich souvislost se zákl. fyz. vlastnostmi	DP - ST - 985/73
Fakulta strojní	OE	str. 28

vzorků. Z toho 4 vzorky materiálu 11 110, 11 373, 11 600 a 17 241 nebyly tepelně zpracovány. Vzorky z oceli 12 010, 12 060, 14 420 a 15 260 byly jak v původním nezpracovaném stavu, tak i v zušlechtěném stavu. U všech vzorků jsme měřili jejich tvrdost. K tomu jsme použili Vickersův tvrdoměr HPO 250 (výrobce VEB-Werkstoffprüfmaschinen - Leipzig) a původní váhu na analytických vahách A 3/200 ČSL.PAT. OHL - 0302317 viz tabulka 2.

Jednotlivé vzorky jsme opakovaně otryskávali v dávkách 60 g. Pak po každém pátém, desátém, patnáctém, dvacátém, dvacátémpátém a třicátém opakovaném tryskání jsme vzorky vážili. Údaje jsou v tabulce 2.

4. 3. Vyhodnocení:

Z hodnot tabulky 2 jsme sestrojili graf 4, viz příloha 1. Z grafu je vidět, že největší úbytek měla automatová ocel 11 110, která svým chemickým složením je přizpůsobena pro obrábění na automatech. Ocel obsahuje zvýšené procento síry, která způsobuje, že ocel je křehčí. Toto nám potvrzuje závěry z literatury 2, kde největší úbytek mělo sklo, pak plexisklo a nejmenší měděný plech. U ostatních vzorků klesal úbytek současně se zvyšující se pevností materiálu. U některých vzorků, které byly tepelně zpracovány, byl úbytek větší oproti tepelně nezpracovaným. U oceli 15 260, 12 060 to bylo však opačně. Toto souvisí s tím, že vlivem tepelného zpracování se nezvyšuje pevnost, tvrdost, křehkost u všech ocelí stejně.

VŠST Liberec	Abrazivita prášků karbidu křemíku a jejich souvislost se zákl. fyz. vlastnostmi	DP - ST - 985/73
Fakulta strojní	OE	str. 29

Na grafu 5 je závislost $\Delta m/M$ - tvrdost v HV při $M = 900$ g. Z něho je vidět, že není možné z provedených měření určit zákonitost, která by se dala vyjádřit analyticky.

Je třeba doporučit pro další měření na oceli k přihlédnutí jiných mechanických vlastností jako je vrubová houževnatost atd.

Materiál 11 110 označení 1 tvrdost 177 HV			Materiál 11 373 označení 2 tvrdost 191 HV		
Opak. tryská- ní n_i	Váha vzorku m_i (g)	Váhový úbytek $\Delta m_i = m_o - m_i$ (g)	Opak. tryská- ní n_i	Váha vzorku m_i (g)	Váhový úbytek $\Delta m_i = m_o - m_i$ (g)
0	44, 0333	0, 0	0	44, 1299	0, 0
5	44, 0136	0, 0197	5	44, 1135	0, 0164
10	43, 9976	0, 0357	10	44, 0986	0, 0313
15	43, 9793	0, 0547	15	44, 0824	0, 0474
20	43, 9598	0, 0747	20	44, 0672	0, 0626
25	43, 9417	0, 0920	25	44, 0527	0, 0771
30	43, 9225	0, 1112	30	44, 0386	0, 0912
Materiál 11 600 označení 3 tvrdost 187 HV			Materiál 12 010 označení 4 tvrdost 246 HV		
Opak. tryská- ní n_i	Váha vzorku m_i (g)	Váhový úbytek $\Delta m_i = m_o - m_i$ (g)	Opak. tryská- ní n_i	Váha vzorku m_i (g)	Váhový úbytek $\Delta m_i = m_o - m_i$ (g)
0	44, 7823	0, 0	0	45, 1802	0, 0
5	44, 7702	0, 0121	5	45, 1683	0, 0119
10	44, 7577	0, 0246	10	45, 1570	0, 0232
15	44, 7454	0, 0369	15	45, 1452	0, 0350
20	44, 7336	0, 0487	20	45, 1357	0, 0445
25	44, 7216	0, 0607	25	45, 1247	0, 0555
30	44, 7104	0, 0719	30	45, 1146	0, 0656

Tabulka 2

Materiál 12 C10 kalený			Materiál 12 060		
označení 4'		tvrdost 836HV	označení 5		tvrdost 211HV
Opak. tryské- ní n_i	Váha vzorku m_i (g)	Váhový úbytek $\Delta m_i = m_o - m_i$ (g)	Opak. tryské- ní n_i	Váha vzorku m_i (g)	Váhový úbytek $\Delta m_i = m_o - m_i$ (g)
0	44, 0510	0, 0	0	45, 3090	0, 0
5	44, 0358	0, 0152	5	45, 3016	0, 0080
10	44, 0219	0, 0291	10	45, 2927	0, 0169
15	44, 0078	0, 0432	15	45, 2842	0, 0254
20	43, 9927	0, 0582	20	45, 2749	0, 0347
25	43, 9784	0, 0726	25	45, 2668	0, 0428
30	43, 9648	0, 0862	30	45, 2586	0, 0510
Materiál 12 060 kalený			Materiál 14 420		
označení 5'		tvrdost 544 HV	označení 6		tvrdost 163 HV
Opak. tryské- ní n_i	Váha vzorku m_i (g)	Váhový úbytek $\Delta m_i = m_o - m_i$ (g)	Opak. tryské- ní n_i	Váha vzorku m_i (g)	Váhový úbytek $\Delta m_i = m_o - m_i$ (g)
0	44, 5635	0, 0	0	44, 2725	0, 0
5	44, 5572	0, 0063	5	44, 2644	0, 0081
10	44, 5500	0, 0135	10	44, 2551	0, 0174
15	44, 5419	0, 0216	15	44, 2453	0, 0272
20	44, 5341	0, 0294	20	44, 2366	0, 0359
25	44, 5238	0, 0397	25	44, 2275	0, 0450
30	44, 5172	0, 0463	30	44, 2180	0, 0545

Tabulka 2

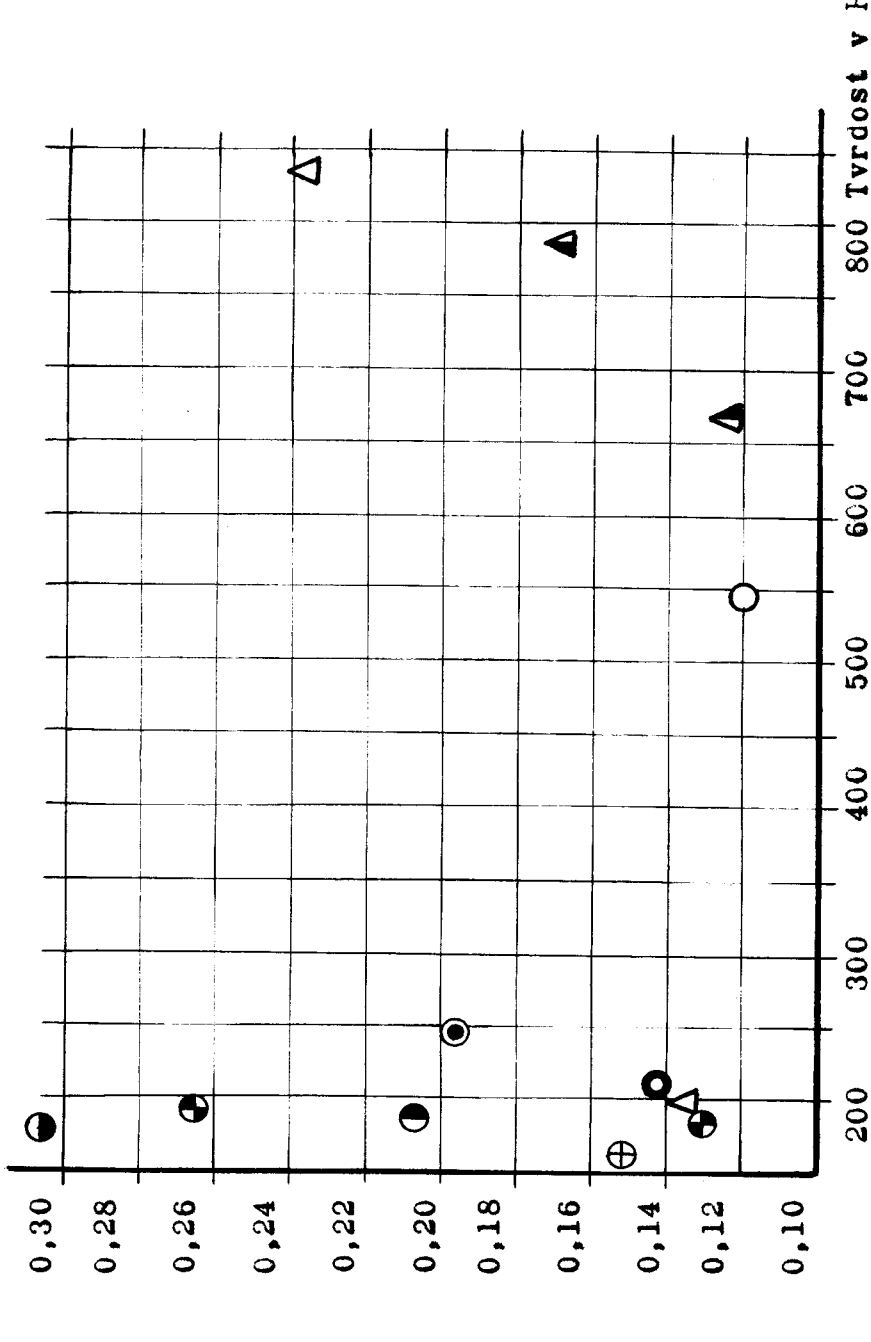
Materiál 14 420 kalený			Materiál 15 260		
označení 5' tvrdost 786 HV			označení 7 tvrdost 184 HV		
Opak. tryská- ní n_i	Váha vzorku m_i (g)	Váhový úbytek $\Delta m_i = m_0 - m_i$ (g)	Opak. tryská- ní n_i	Váha vzorku m_i (g)	Váhový úbytek $\Delta m_i = m_0 - m_i$ (g)
0	44, 0146	0, 0	0	45, 1014	0, 0
5	44, 0041	0, 0105	5	45, 0943	0, 0071
10	43, 9544	0, 0202	10	45, 0854	0, 0160
15	43, 9836	0, 0310	15	45, 0780	0, 0234
20	43, 9724	0, 0422	20	45, 0696	0, 0318
25	43, 9632	0, 0514	25	45, 0624	0, 0390
30	43, 9523	0, 0623	30	45, 0544	0, 0470
Materiál 15 260 kalený			Materiál 17 241		
označení 7' tvrdost 668 HV			označení 8 tvrdost 198 HV		
Opak. tryská- ní n_i	Váha vzorku m_i (g)	Váhový úbytek $\Delta m_i = m_0 - m_i$ (g)	Opak. tryská- ní n_i	Váha vzorku m_i (g)	Váhový úbytek $\Delta m_i = m_0 - m_i$ (g)
0	44, 3753	0, 0	0	46, 6530	0, 0
5	44, 3676	0, 0077	5	46, 6452	0, 0080
10	44, 3602	0, 0151	10	46, 6365	0, 0167
15	44, 3522	0, 0232	15	46, 6281	0, 0251
20	44, 3439	0, 0315	20	46, 6203	0, 0329
25	44, 3361	0, 0393	25	46, 6115	0, 0417
30	44, 3296	0, 0458	30	46, 6032	0, 0500

Tabulka 2

GRAF $\Delta m/M$ - HV

Závislost úběru materiálů ocelí na tvrdosti HV.

Měření tvrdosti provedeno dle ČSN 42 0374, zatížením 30 kp.



GRAF 5

Autorství právo se řídí směrnicemi MČ Československého svazu vzdělávání a výzkumu č. 31 727/62-16, vydání 1. 1. 1962-Věstník MČK XIII, číslo 1, ročník 31, č. 31432 § 19 autorského zákona č. 115, 23. 3. 62.

Vysvětlivky ke grafu č. 5

- - ocel 11 110
- - ocel 11 600
- ◐ - ocel 11 373
- ⊕ - ocel 14 420
- ◐ - ocel 15 260
- - ocel 12 060 kalená
- - ocel 12 010
- - ocel 12 060
- △ - ocel 17 241
- ▲ - ocel 15 260 kalená
- ▲ - ocel 14 420 kalená
- ▲ - ocel 12 010 kalená

VŠST Liberec	Abrazivita prášků karbidu křemíku a jejich souvislost se zákl. fyz. vlastnostmi	DP - ST - 985/73
Fakulta strojní		OE str. 35
5. Návrh kapalinového tryskače		
<p>Při studiu erozivních vlastností materiálů a prášků se nejčastěji používá tryskací techniky. Nosným prostředím abrazivních prášků bývá obvykle plyn, nejčastěji vzduch. Mají-li se dostat abrazivní prášky do nepřetržité cirkulace, vyžaduje to dosti náročné zařízení. Při provozu jsou navíc i potíže s utěsněním obvodu a prostředí je prašné.</p>		
<p>Obtížné je i určovat rychlosť proudících částic abraziva v plynném prostředí, která není stejná jako je rychlosť vzduchu.</p>		
<p>Tyto technické potíže se dají částečně odstranit užitím kapalného nosného prostředí pro abrazivum. Je-li nosným prostředím kapalina, mohou jejím vhodným výběrem přistoupit ještě k erozivním účinkům abraziva i chemické účinky kapaliny. Vznikne tedy při užití kapalného nosného prostředí nová problematika, která nebyla dosud řešena v takovém rozsahu jako eroze při otryskávání s plynným nosným prostředím. Kromě erozivních vlastností suspense prášků v kapalném nosném prostředí je možné řešit touto technikou i erozivní vlastnosti samotných kapalin a řadu zcela nových otázek mechanismu elektrochemických jevů na povrchu látek.</p>		
<p>Proto jsme přistoupili ke konstrukci tryskacího zařízení k použití pro studium eroze jak samostatných kapalin, tak i erozivních kapalných suspensií. Míchání suspensií je řešeno užitím piezokeramických elementů.</p>		

VŠST Liberec	Abrazivita prášků karbidu křemíku a jejich souvislost se zákl. fyz. vlastnostmi	DP - ST - 985/73
Fakulta strojní	OE	str. 36

5.1. Princip konstrukce

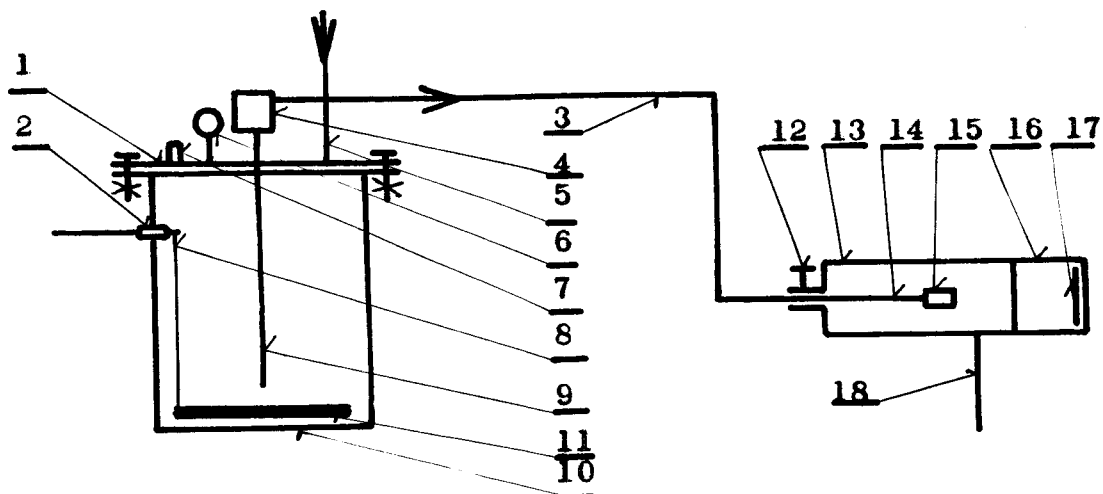
Celá konstrukce míchače je řešena tak, že se vlastně jedná o tlakovou nádobu napojenou na tryskač. Uvnitř nádoby je umístěna vibrační deska, pomocí níž je uskutečněno míchání. Jelikož se bude vždy míchat abrazivní suspense, nebylo by vhodné uskutečnit míchání pomocí pohybujících se částí, jako jsou lopatky atd., protože by brusivo velmi rychle opotřebovalo pohybující se části.

Při hledání vhodného způsobu míchání se proto využilo známého efektu piezokeramických materiálů, kde vlivem měnící se polarity se piezokeramický materiál stlačuje a roztahuje. Při dostatečně vysoké frekvenci elektrického proudu se materiál rozkmitá a tím i své okolí. V našem případě jsme použili čtyři kruhové piezokeramické destičky. Aby nedošlo k izolaci kmitání destiček, je vnitřek vibrační desky zalit olejem. Tím se odstraní vzduch či vzduchové bubliny, které by nám nejvíce snižovaly účinnost kmitání.

Na víku nádoby je umístěn přívod vzduchu, kontrolní manometr, odvod suspense je proveden hadicí do tryskače. Princip celé konstrukce je na obr. 2.

5.2. Konstrukční řešení tlakové nádoby na míchání pomocí piezokeramických destiček

Tlaková nádoba na piezokeramické míchání se skládá z vlastní tlakové nádoby a vibrační desky. Nádoba je zhotovena na obsah zhruba 10 litrů o jmenovité světlosti $D = 150 \text{ mm}$ a tloušťce stěny $T = 5 \text{ mm}$. Po stranách válce



1 - víko tlakové nádoby, 2 - průchodka, 3 - hadice,
4 - koleno, 5 - přívod vzduchu od kompresoru, 6 - kon-
trolní manometr, 7 - nalévací otvor, 8 - vodič, 9 - od-
vodní trubka, 10 - tlaková nádoba, 11 - vibrační deska,
12 - aretační šroub, 13 - tryskací komora, 14 - nosič
trysek, 15 - výmenné trysky, 16 - víčko, 17 - otryská-
vaný vzorek, 18 - držák tryskače.

jsou umístěny dva průzory, které jsou k sobě natočeny
o devadesát stupňů. Toto umístění je záměrně voleno
z několika důvodů:

- vlastní funkce ke kontrole obsahu nádoby
- ke sledování procesu míchání, jedním průzorem bu-
deme osvětlovat obsah a druhým se sleduje proces
míchání.

Pootočení o devadesát stupňů je voleno z toho důvodu,
aby nedocházelo k oslnění pozorovatele u druhého prů-

zoru. Takto konstruované průzory mají také tu výhodu, že nebude obtížné čistění nádoby při výměně suspense.

U dna tlakové nádoby je umístěna zátka, která nám má umožnit lepší čistění.

Na víku míchače jsou umístěny:

- kontrolní manometr na tlak 0 - 6 atm
- nalévací otvor je tvořen přivařenou přírubou a slepou maticí
- vstup tlakového vzduchu od kompresoru
- odvod míchané suspense do tryskací komory, která byla konkrétně k tomuto účelu konstruována.

Vlastní vstup do odváděcí trubky je umístěn 20 mm nad vibrační deskou, která je umístěna na dně tlakové nádoby. Tím je vyloučeno nabíráni usazeného brusiva.

U odváděcího potrubí bylo přihlédnuto k nebezpečí, že u kolena bude docházet k silné mechanické erozi. Jelikož trubka je poměrně slabá - 1 mm - došlo by poměrně v krátkém čase k její poruše. Proto bylo zhotoven speciální koleno, které má zesílené stěny.

Asi 30 mm pod přírobou nádoby je umístěna silikonová průchodka, jíž vede vodič na jehož konec je přichycen kabel. Celý spoj musí být dokonale izolován. Lruhý konec kabelu je přiletován k elektrickému rozvodu na vibrační desce. Opět místo vstupu vodiče do desky musí být dokonale utěsněno, aby nedocházelo k pronikání emulze do vnitřku vibrační desky. Blížší popis vibrační desky je v následující kapitole. Podrobný výkres tlakové nádoby je v příloze 2.

5.3. Piezokeramické míchání emulze

Vlastní míchání je uskutečněno kmitáním desky. Této kmitání je umožněno kmitáním čtyř piezokeramických destiček. Jedná se o typ PKM 30, což je tuhý roztok typu $PbZrO_3 - PbTiO_3$ (roztok zirkoničitanu a titaničitanu olovnatého), výrobcem je Tesla n.p. Hradec Králové. Průměr destiček $D = 30 \text{ mm}$, tloušťka $t = 3 \text{ mm}$. Hodnoty napájecího generátoru jsou $0 - 1 \text{ kV}$ a 1 kHz .

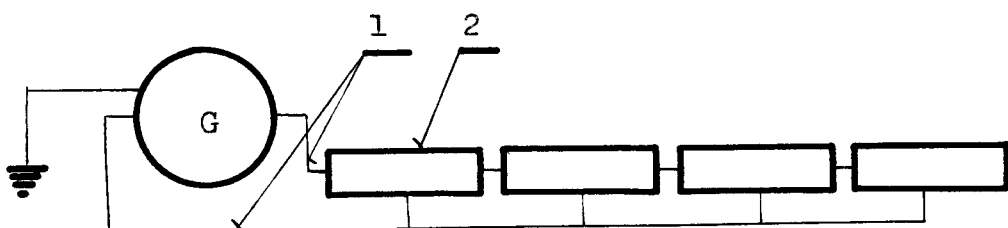
Tyto čtyři destičky jsou zasazeny ve vyfrézovaném osazení základní izolační desky o tloušťce 10 mm , kde je současně umístěn i elektrický rozvod. Tento rozvod je zhotoven ze dvou výstřížků plechu. Jeden výstřížek je umístěn pod piezokeramickými destičkami, současně svým profilováním přitlacuje dističky na horní výstřížek, který je svým výstupkem (jazyčkem) připojen ke kabelu. Spodní výstřížek má dva jazyčky přečnívající ven z desky vibrátoru a dotýkající se stěny válce. Tím je uskutečněn elektrický obvod. Spodní výstřížek má podobu kříže, horní je čtvercový.

Materiál základní desky, tak i přitlačné, je z plešiskla.

Celý vnitřek musí být dokonale zalit olejem, aby nedocházelo k tlumení kmitání vzduchem či vzduchovými bublinami.

Přitlačná deska o síle 1 mm je uzpůsobena pro průchod kabelu. Spoj mezi základní deskou a přitlačnou deskou musí být dokonale nepropustný, aby nedocházelo k pronikání suspense dovnitř a tím k vytíkání oleje do suspense. Celá vibrační deska je umístěna na dně nádoby a současně je

zde upevněna pomocí dvou šroubů a pružinek. Tím je za-
mezeno jakémukoliv posunu desky po dně. Princip elektric-
kého zapojení viz obr. 3.



Obrázek 3.

G - generátor, C - 1 kV, 1 kHz; 1 - vodiče;

2 - piezokeramické destičky;

5.4. Konstrukční řešení tryskače

Celý tryskač se skládá z tryskací komory (pozice 1), na kterou je našroubováno víko tryskače (pozice 2). Na dně víka je umístěn vzorek, který chceme tryskávat. Vzorek může být jak kruhového, tak i čtvercového tvaru. Maximální průměr či uhlopříčka je 44 mm. Ve dně víka je otvor o průměru 32 mm. Na protilehlé straně víka t. zn. na dně komory, je otvor, kterým prochází nosič výměnných trysek (pozice 5). Na něj se našroubovává sada 12 výměnných trysek lišících se od sebe různými tvary výstupu.

Výměnné trysky byly navrženy v literatuře (2). Na vnější straně dna komory je aretační šroub (pozice 6), jímž se zajišťuje vzdálenost trysky od otryskávaného vzorku. Na povrchu nosiče je vyryta milimetrová stupnice o rozsahu 0 - 40 mm, pro rychlejší a přesnější nastavení.

Na válcové stěně komory je otvor, jímž se odvádí tryskací prášek i suspense. Na plášti komory je připájena matice (pozice 3) v níž je zašroubován držák tryskače (pozice 4), který je uchycen na pohybujejících se sáních nasazených v rybinovitém vedení.

Pracovní poloha tryskače je volena tak, aby podélná osa tryskače byla horizontálou. Tryskač slouží nejen k práci s kapalnými suspensemi, ale i k otryskávání samotným brusným práškem.

Poznámka: Popsané pozice 2 - 6 jsou v příloze ozn.3.

5.5. Zhodnocení

Při konstrukci zařízení na míchání suspense pomocí piezokeramických destiček bylo přihlédnuto k maximální jednoduchosti a levnosti.

Při vlastní konstrukci se vycházelo z několika návrhů. Původně namísto dvou průzorů se uvažovalo o hladinoměru. Od tohoto návrhu jsme upustili, protože nesplňoval určité požadavky obsluhy zařízení na dokonalé čistění. Při tomto návrhu bylo pozorování uskutečněno pomocí kulatého průzoru umístěného na víku a přímého osvětlení vnitřku. Toto řešení nám neumožňovalo pozorovat mechanismus míchání v celém průřezu nádoby, pouze na hladině.

VŠST Liberec	Abrazivita prášků karbidu křemíku a jejich souvislost se zákl. fyz. vlastnostmi	DP - ST - 985/73
Fakulta strojní	OE	str. 42

Dalším návrhem bylo, že se uvažovalo o přímém styku piezokeramických destiček se suspensí, která by byla současně elektrolytem.

6. Abrazivita v závislosti na
velikosti zrna

Při stanovování abrazivity v závislosti na velikosti zrn brusiva jsme již použili novou tryskací komoru viz příloha 2, která byla konstruována v části 4. I když komora byla konstruována pro kapalinné nosné prostředí, je ji také možno použít k tryskání v plynném nosném prostředí. Komora byla pouze doplněna pro odsávání prášku vysavačem ETA.

6.1. Příprava prášku

Základní podmínky měření, to znamená tlak 1 atm, směšovací komora, otryskávaný materiál části 3, tryska a vzdálenost trysky od vzorku byly shodné jako v části 3. U tohoto měření bylo velmi důležité mít k dispozici prášky karbidu křemíku v přesně stanovených mezích zrnitosti. Konkrétně se jednalo o prášek C-48 /šedý/. Vlastní třídění jsme prováděli na laboratorní prosíváčce a použili síta výrobce STAV ZVIČÍN provoz Ivančice u Brna. Prášek jsme prosívali na zrnitost označení 100 (velikost zrna 0,125 - 0,160 mm), označení 120 (velikost zrna 0,1 - 0,125 mm), označení 150 (velikost zrna 0,080 - 0,100 mm), označení 200 (velikost zrna 0,080 - 0,063 mm) a menší 280 (velikost zrna menší nežli 0,050 mm). Každý prášek jednotlivé zrnitosti jsme potřebovali minimálně 250g.

6.2. Průběh zkoušky

Pro pět druhů brusného prášku jsme potřebovali 5 zkušebních vzorků. Materiály vzorků musely být shodné a shodovaly se s materiélem v části 3. Označení jednotlivých vzorků bylo 2, 3, 4, 5, 6. U těchto vzorků jsme stanovili původní váhu m_0 na analytických vahách A 3/200 ČSL PAT. OHL. 030 2317. Každý vzorek byl otryskáván. Pak jsme stanovili jednotlivé úbytky v závislosti na zrnitosti brusiva. Hodnoty o úbytcích a časech jsou v tabulce 3. Hodnoty z tabulky 3 nám byly jako podklady pro Δm - zrnitost graf 6 a Δt - zrnitost graf 7.

6.3. Vyhodnocení zkoušky

Při stanovení abrazivity na velikostí zrna brusiva jsme poprvé mohli vyzkoušet nově konstruovanou tryskací komoru. Tato komora nám dovolila použít daleko větší dávky, v krajním případě neomezenou dávku, protože se vytryskaný prášek může plynule vyssávat z tryskací komory. Kdežto u staré tryskací komory byla dávka omezena kapacitou tryskače. Tryskač se musel také vždy demontovat. Tím jsme současně podstatně zrychlili průběhy zkoušek.

Z úběru materiálu Δm na zrnitost viz graf 6 je vidět, že u velmi jemných zrnitostí menších 50 mikronů jsou úbytky velmi malé. Ale již od zrnitosti 50 - 80 mikronů dochází k daleko intenzivnějšímu úbytku. U hrubších zrnitostí nad 80 mikronů již nedochází ke zvyšování abraze, úbytek se ustaluje.

U časové závislosti otryskávání vzorků přesně stanoveným množstvím brusného prášku na velikost zrn to-

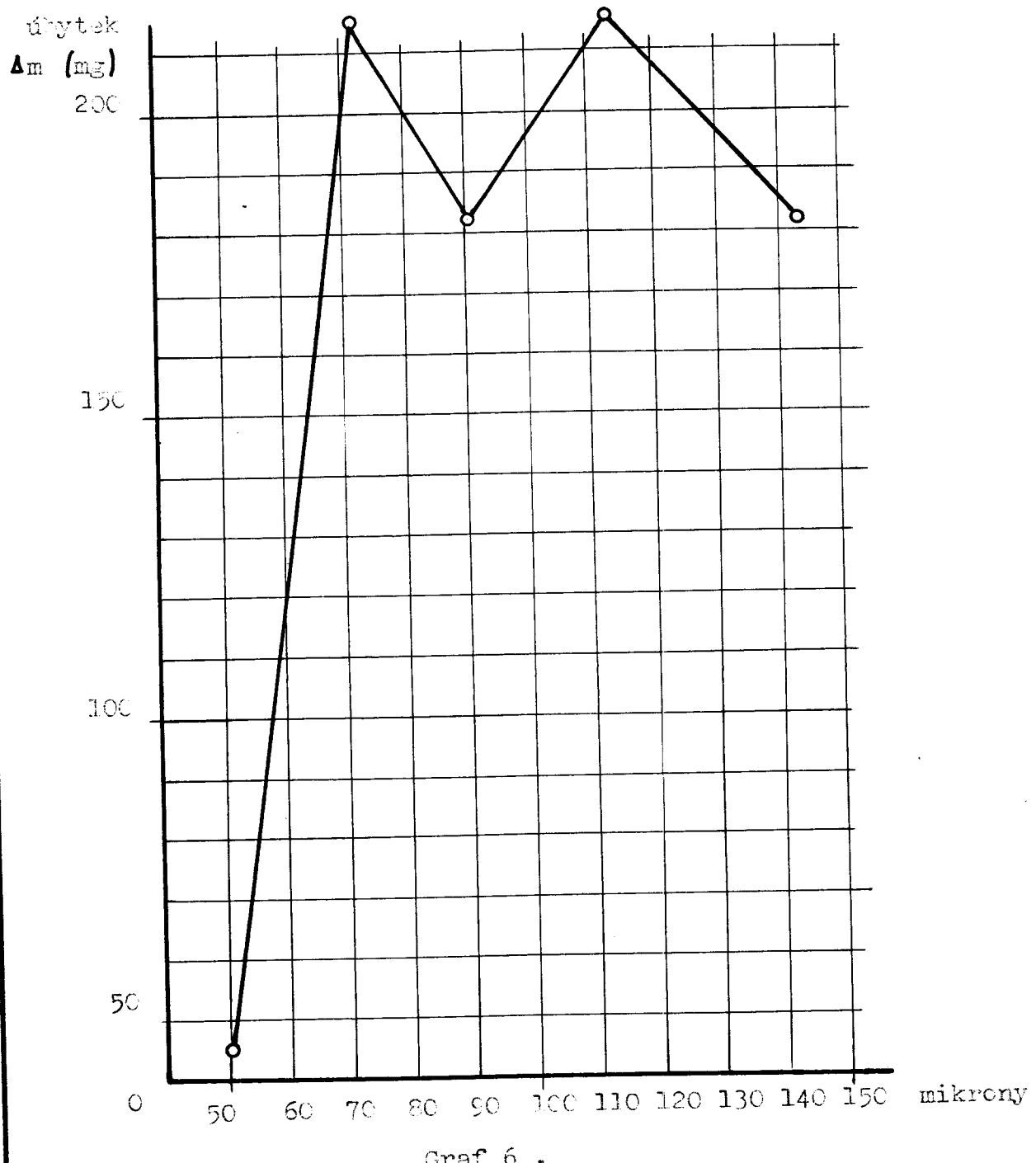
hoto abraziva viz graf 7, je výrazné časové minimum při zrnitosti 70 mikronů. U velmi jemných zrn je značně delší doba vytryskávání nežli u hrubších zrn. Tento průběh je pravděpodobně způsoben aerodynamickými vlivy při vytryskávání.

Pro zpřesnění výsledků závislosti Δm - zrnitost a čas - zrnitost by bylo vhodnější, aby se zkoušky

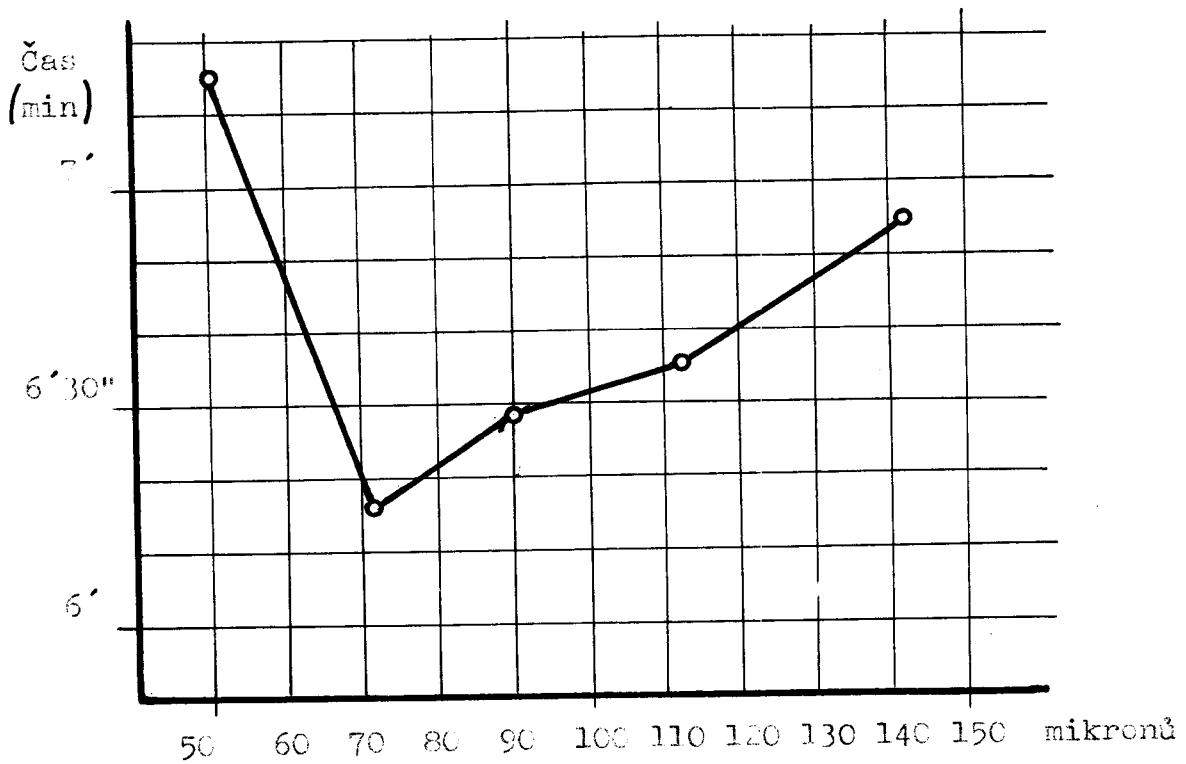
Czneče- ní bru- siva	Zrnitost mikrony	Czna- čení vzorku	Původní váha vz. m. (g)	Váha po otryskání m (g)	Váhový úbytek Δm (g)	Čas
100	125 - 160	5	14, 7035	14, 6853	0, 0182	6' 59"
120	100 - 125	2	13, 3038	13, 2832	0, 0205	6' 35"
150	80 - 100	3	14, 6980	14, 6798	0, 0182	6' 28"
200	63 - 80	4	13, 2312	13, 2097	0, 0215	6' 16"
menší						
280	menší 50	6	13, 3101	13, 3056	0, 0045	7' 15"

Tabulka 3.

provedly četněji a na více druzích materiálů. Přesto průběhy těchto závislostí se shodují s průběhy uváděnými v literatuře 1.

GRAF Δm - zrnitost.

Graf 6 .

GRAF #t - zrnitost.

Graf 7.

7. Závěr

Z uvedených výsledků viz graf 2,3 je vidět, že výhové nebo objemové úbytky oceli jsou při velkém počtu opakování tryskání práškem karbidu křemíku konstantní. To má ten význam, že v praxi při pracích, kde se bude používat tryskání těchto prášků, bude možno využívat tento prášek ve značné míře.

Při stanovení abrazivity jednotlivých druhů oceli není možné jednoznačně stanovit, která ocel bude mít větší nebo menší abrazi. Z grafu viz příloha 1 je vidět, že tato závislost závisí na mnoha činitelích a my zatím nemůžeme rozhodnout, které mají hlavní vliv. Proto doporučujeme v dalších pracích sledovat tuto problematiku podrobněji. Například velikost abraze v závislosti na velikosti vrubové houževnatosti ocelí.

Také bude třeba stanovit nevhodnější postup při výběru reprezentativních vzorků prášku z většího množství.

Z grafu 7 je vidět, že je pravděpodobně závislý čas potřebný k vytryskávání daného objemu prášku na aerodynamických činitelích při tryskání. Současně i velikost zrn ovlivňuje velikost abraze, viz graf 6.

V konstrukční části této práce jsme navrhli tryskač, který umožňuje tryskání v kapalném prostředí. Současně v této části byla navržena a zhodovena nová tryskací komora, která je vhodná jak pro plynné, tak i kapalné prostředí. Bylo velkou výhodou, že jsme měli možnost tuto komoru v průběhu této práce vyzkoušet.

VŠST Liberec	Abrazivita prášků karbidu křemíku a jejich souvislost se zákl. fyz. vlastnostmi	DP - ST - 985/73
Fakulta strojní		OE str. 49

Tato komora ve všech případech předčila starou tryskací komoru. Dovolila nám tryskat neomezeně dlouhou dávku, prostředí bylo méně prašné. Současně svojí jednoduchostí obsluhy umožnila značně zkrátit vedlejší časy obsluhy, což má velký význam při větších počtech opakování.

Na závěr této diplomové práce bych chtěl poděkovat prof. Ing. Jaroslavu Draskému CSc za podporu a zájem, dále RNDr. Lubomíru Sodomkovi za cenné rady a všeestrannou pomoc a Aleši Kleprlíkovi za pomoc při měřeních a přípravě vzorků. Zároveň bych chtěl poděkovat kolektivu vývojových dílen za včasné dodání našich zakázek.

8. Literatura

1. Sodomka, L.: Eroze materiálu proudem částic:
připraveno k publikaci
2. Jetleb, P.: Diplomová práce. VŠST Liberec 1971
3. Jetleb, P.; Cinková, J.: Využití triboluministence ...
studentská vědecká práce
4. Černý, V.: Brusivo a brusné nástroje. SNTL Praha 1967
5. Kosopopolova, T.J.: Karbidy. Metalurgija Moskva 1968
6. Karbid Kremja. Naukova dumka. Kyjev 1966
7. Plný, V., Brunner, J.: Kapalinový tryskač. Studentská
vědecká práce duben 1973 VŠST Liberec